



بررسی ترکیب و نقش عناصر کمیاب در شکل گیری کانسنگ مگنتیتی توده نفوذی نامن، غرب سبزوار به روش LA-ICP-MS

سیدعلی مظہری*

دانشگاه پیام نور، گروه علمی زمین‌شناسی، تهران ۱۹۳۹۵ - ۴۹۶۷، ایران

(دریافت مقاله: ۹۵/۱۰/۱۸، نسخه نهایی: ۹۵/۱۲/۲۴)

چکیده: سنگ‌های بازی توده نفوذی نامن در غرب سبزوار به صورت هورنبلند گابروهای انباشتی ظاهر می‌شوند. یکی از رخنمون‌های این واحد، حاوی قطعات کانسنگ مگنتیت است. با وجود ویژگی‌های مشابه کانی‌شناسی، هورنبلند گابروهای حاوی کانسنگ (MHG) از نظر ترکیب عناصر کمیاب و نوع مواد فرار تفاوت قابل ملاحظه‌ای با سایر هورنبلند گابروها (HG) دارد. تجزیه عناصر کمیاب به روش LA-ICP-MS بر بلورهای مگنتیت نمونه‌های HG، MHG و کانسنگ (MG) نشان می‌دهد که تمام این کانی‌ها در گروه مگنتیت‌های ماگمایی غنی از Ti و V قرار می‌گیرند. مگنتیت‌های MG و MHG دارای ترکیب مشابه هستند، اما ترکیب عناصر کمیاب در مگنتیت‌های نمونه HG کاملاً متمایز از آنهاست. مگنتیت‌های HG غنی از Mg، Al، Y، Ga، REE، Nb و REE هستند در حالیکه این کانی‌ها در MG و MHG از نظر میزان Ti، V، Cr، Mn و Zn به نسبت غنی‌تر هستند. الگوی REE در این گروه نیز متفاوت است به طوریکه مگنتیت‌های MG و MHG الگوی چهاروجهی با تهی‌شدگی $[La/Yb]_N = 0.46$ و مگنتیت‌های HG غنی‌شدگی $[La/Yb]_N = 2.67$ با شیب ملایم دارند. ترکیب داده‌های عناصر کمیاب مگنتیت و شیمی سنگ کل مؤید نقش جدایش فاز فرار در طی تحول ماگمای گابرویی توده‌ی نامن است.

واژه‌های کلیدی: مگنتیت؛ هورنبلند گابرو؛ عناصر کمیاب؛ توده نامن؛ سبزوار.

می‌گردد [۶]. تحقیقات مختلف نشان داده است که ترکیب عناصر کمیاب در اکسیدهای آهن نقش مهمی در درک خاستگاه انواع کانی‌زایی دارد [۷، ۸].

قطعات مدور کانسنگ مگنتیت به صورت پراکنده در رخنمون‌هایی از هورنبلند گابروهای مجموعه توده‌های نفوذی نامن در غرب سبزوار مشاهده می‌شوند. بررسی‌های پیش نشان می‌دهد که ترکیب عناصر کمیاب در سنگ‌های حاوی کانسنگ متفاوت از هورنبلند گابروهای بدون کانسنگ است [۹]. در این تحقیق عناصر کمیاب موجود در اکسیدهای آهن هورنبلند گابروهای حاوی کانسنگ (MHG)، هورنبلند گابروهای بدون کانسنگ (HG) و خود کانسنگ (MG) با روش

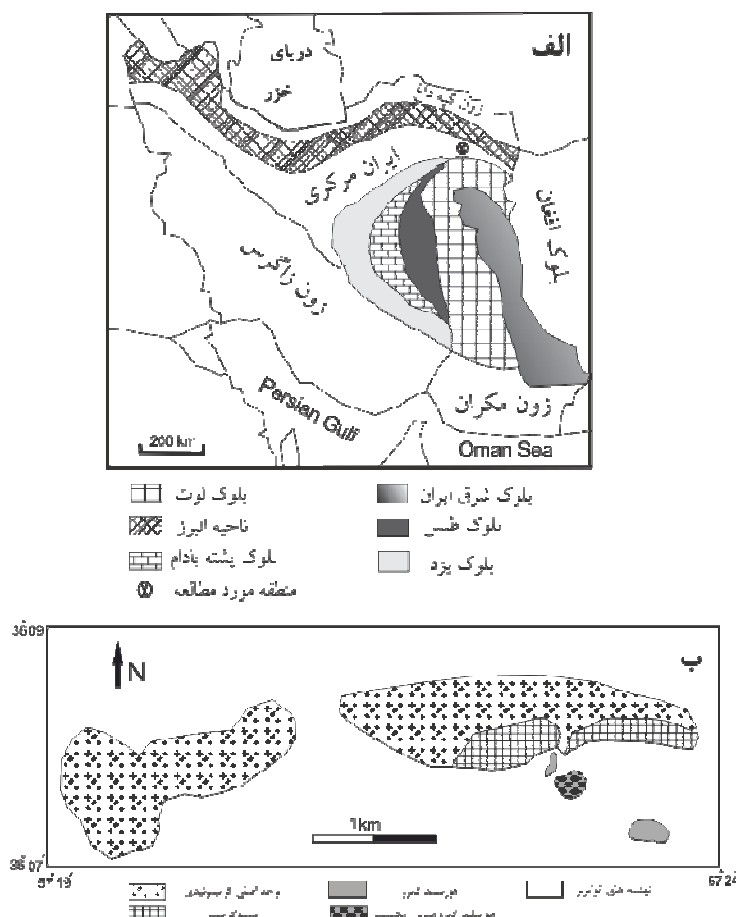
مقدمه با پیشرفت فناوری و ابداع روش‌های نوین برای تعیین عناصر کمیاب کانی‌ها (به ویژه طیفسنجی جرم گسیل پلاسمای جفت شده القایی با جدایش لیزری LA-ICP-MS)، استفاده از ترکیب این عناصر در بررسی‌های مختلف سنگ‌شناسی و کانه-نگاری افزایش یافته است. این بررسی‌ها دامنه‌ی گستردگی از کانی‌های مافیک [۱، ۲] و فلزی [۳-۵] را شامل می‌شود. مگنتیت (Fe_3O_4) یکی از رایج‌ترین کانی‌های اکسیدی گروه اسپینل است. این کانی در طیف وسیعی از سنگ‌های مختلف ظاهر می‌شود و همچنین به عنوان کانسنگ آهن در کانسارهای ماگمایی، گرمایی و سازنده‌ای آهن نواری (BIF) تشکیل

های دیابازی و گابروهای لایه‌ای و توده‌ای است که سن کرتاسه پسین تا پالئوسن را به آن نسبت داده‌اند [۱۲، ۱۱]. علاوه بر این، سنگ‌های بازی دگرگون شده (شیست آبی، شیست سبز و آمفیولیت) در اندازه‌های مختلف نیز در مجموعه افیولیتی ظاهر می‌شوند. این سنگ‌ها در کرتاسه پیشین (آلبین) دچار بیشترین دگرگونی شده‌اند [۱۳]. علاوه بر سنگ‌های آذرین مرتبط با دنباله افیولیتی که در پهنه سبزوار ظاهر شده‌اند، وسعت قابل ملاحظه‌ای از این ناحیه توسط سنگ‌های ماگمای غیرافیولیتی پوشیده شده است (شکل ۱ الف). این سنگ‌ها یا به صورت توده‌های نفوذی، نیمه عمیق و روانه‌های خروجی در نوار مجموعه افیولیتی رخنمون یافته‌اند [۱۴، ۱۱] و یا در خارج از نوار افیولیتی (در نیمه جنوبی پهنه سبزوار) قرار گرفته‌اند [۱۵، ۱۶]. بررسی‌ها نشان می‌دهد که بسیاری از سنگ‌های آتشفسانی ماهیت آدکیتی دارند [۱۷]. توده‌های ماگمای نیز متنوع بوده و شامل فازهای مختلف فلزی و مافیک هستند [۹].

تعیین گردید. در ادامه اختلاف ترکیب عناصر کمیاب مغنتیت در این نمونه‌ها مورد بررسی و تجزیه و تحلیل قرار گرفته و نوع کانی‌زایی با استفاده از نمودارهای تمایز کننده تعیین شد. نتایج حاصل از این بررسی نشان می‌دهد که ترکیب عناصر کمیاب مغنتیت می‌تواند کمکی مؤثر در شناخت بهتر فرایندهای کانی‌زایی داشته باشد.

موقعیت زمین‌شناسی

ناحیه مورد بررسی در پهنه سبزوار (شمال شرقی ایران) و در قلمرو منطقه ایران مرکزی واقع شده است (شکل ۱ الف) [۱۰]. بیشترین وسعت پهنه سبزوار شامل کمربند افیولیتی بزرگی است که به صورت نواری با روند تقریبی شمال‌غربی-جنوب‌شرقی در حاشیه شمال شرقی ایران مرکزی واقع شده است. این مجموعه افیولیتی شامل کلیه بخش‌های یک دنباله افیولیتی است که البته کاملاً زمین‌ساخت شده و بین بخش‌های مختلف انقطاع ایجاد شده است. افیولیت سبزوار شامل بخش گوشه‌ای سرپانتینی شده و دنباله‌ی سنگ‌های رسوبی-شیمیابی، دایک-



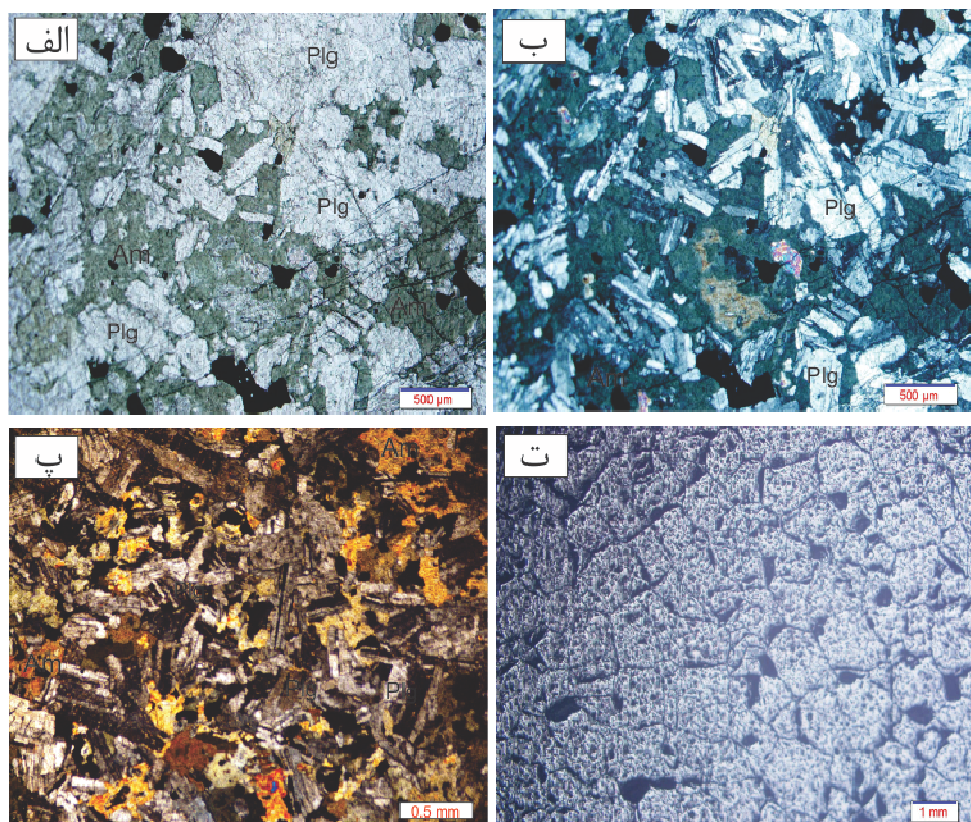
شکل ۱ الف) موقعیت محدوده مورد بررسی در نقشه زمین‌شناسی ایران (برگرفته از مرجع [۱۰]). ب) نقشه ساده توده نفوذی نامن.

و نمونه‌های فاقد کانسنگ (HG) از نظر ویژگی‌های سنگنگاری مشابه هستند. کلیه سنگ‌های گابرویی دارای بافت دانه‌ای و انباشتی هستند (شکل ۲). پلازیوکلاز فراوان‌ترین کانی است که به صورت شکلدار و نیمه شکلدار ظاهر می‌شود. آمفیبیول کانی اصلی دیگری است که بیشتر به شکل هورنبلندهای سیز رنگ در مقاطع نازک دیده می‌شود و معمولاً فضای بین سایر بلورها را دربر می‌گیرد. اکسیدهای آهن به صورت کانی کدر در تمام نمونه‌های گابرویی قابل مشاهده هستند. مقدار این کانی‌ها در نمونه‌های MHG (شکل‌های ۲ الف و ب) بیش از ۵ درصد حجمی و در گابروهای HG (شکل ۲ پ) کمتر از این مقدار است. کانی‌های فرعی گابروها شامل تیتانیت، آپاتیت و زیرکن هستند. کانسنگ مگنتیت در مقاطع صیقلی تقریباً به طور کامل از کانی مگنتیت مشاهده می‌شود (شکل ۲ ت). البته مگنتیت به صورت ذرات ریز بدون شکل نیز دیده می‌شود و شکاف بین دانه‌های مگنتیت اغلب توسط ذرات فلدرسپار پر می‌شود.

توده نفوذی نامن در ۳۵ کیلومتری غرب شهر سبزوار واقع شده و از سه فاز ماقمایی مختلف شامل دو واحد گرانیتوئیدی و یک واحد بازی، تشکیل شده است [۹]. گرانیتوئیدها شامل دو نوع A و I هستند و به ترتیب در اثر ذوب سنگ‌های فلسیک و آمفیولیت‌ها در یک محیط فرورانشی تشکیل شده‌اند [۹]. سنگ‌های مافیک در جنوب توده ظاهر شده‌اند و دارای ترکیب هورنبلندهای گابرویی با بافت انباشتی متتشکل از هورنبلندهای پلازیوکلاز هستند. در یکی از رخنمون‌های فاز مافیک کانسنگ مگنتیت به صورت قطعات مدور قابل مشاهده است (شکل ۱ ب) که فعالیت معدنی محدودی نیز بر روی این رخنمون انجام گرفته است. سایر رخنمون‌های سنگ‌های مافیک فاقد کانسنگ مگنتیت هستند.

سنگنگاری

آمفیبیول و پلازیوکلاز کانی‌های اصلی سازنده فاز بازی توده نامن هستند. این دو کانی بیش از ۸۰ درصد حجم سنگ‌های بازی را تشکیل داده‌اند و بنابراین از این واحد به نام "هورنبلندهای گابرو" یاد می‌شود. هورنبلندهای گابروهای حاوی کانسنگ (MHG) در نور



شکل ۲ ویژگی‌های سنگنگاری نمونه‌های مورد بررسی. نمونه HG در نور PPL (الف) و XPL (ب). (پ) نمایی از بافت نمونه HG در نور PPL (ت) بافت کانسنگ (MG) در نور بازتابی. پلازیوکلاز = Plg، آمفیبیول = Am

قرار گرفت. آئروسل ایجاد شده تحت تأثیر یک گاز حامل هلیمی قرار گرفت و سپس قبل از ورود به دستگاه ICP-MS برای بدست آوردن شدت یون‌های منفرد، از طریق یک مبدل T با یک گاز آرگون مخلوط شد. جزئیات شرایط انجام تجزیه در مرجع [۷] تشریح شده است. در نهایت، شرایط تشکیل کانسنگ مگنتیت با توجه به داده‌های پیشین و نتایج حاصل از LA-ICP-MS، مورد بحث و بررسی قرار گرفت.

نتایج

نتایج به دست آمده در جدول ۱ ارائه شده است. بسیاری از عناصر کمیاب می‌توانند در ساختار بلوری نوع اسپینل جای بگیرند [۱۸]. مرکز بسیاری از عناصر کمیاب (شامل Mg, Al, Sc, Ti, V, Cr, Mn, Nb, Y, Sr, Ga, Zn, Ni, Co, Cr, V, Ti, Sc, Al, REE و Ba) در اکسیدهای مورد بررسی در توده نفوذی نامن بالاتر از حد تشخیص دستگاه است. در ادامه نتایج بدست آمده در مورد هر نمونه تشریح می‌شود.

روش انجام پژوهش

چنانکه اشاره شد، در بررسی پیشین روی توده نامن، ویژگی‌های سنگ‌شناسی و زمین‌شیمی سنگ‌های نفوذی ارائه شده است [۹]. با توجه به نتایج حاصل از آن تحقیق، سه نمونه نازک صیقلی از واحدهای HG، MHG و کانسنگ (MG) تهیه شد و پس از بررسی‌های میکروسکوپیکی، تجزیه LA-ICP-MS بر روی کانی‌های اکسیدی آنها صورت گرفت. در مجموع ۲۷ بلور مگنتیت در نمونه‌های مورد بررسی به روش LA-ICP-MS و برای تعیین عناصر کمیاب تجزیه شدند. این بررسی‌ها در موسسه زمین‌شیمی فرهنگستان علوم در شهر جیانگ چین و با استفاده از باریکه لیزری تولید شده توسط دستگاهی شامل کمپرسور لیزری مدل Coherent GeoLasPro 193-nm به همراه یک Agilent 7700x ICP-MS انجام گرفت. پس از ۴۰ ثانیه کنترل با gas blank، سطوح نمونه به مدت حدود ۴۴ μm تحت ابليشن ۱۶۰ تپ متواли (4 Hz) در اندازه ۱۶۰ nm انجام گردید.

جدول ۱ نتایج تجزیه LA-ICP-MS برای کانی مگنتیت در نمونه‌های مورد بررسی. مقادیر بر حسب ppm ارائه شده‌اند.

	MHG-1	MHG-2	MHG-3	MHG-4	MHG-5	MHG-6	MHG-7	MHG-8	MG-1	MG-2	MG-3	MG-4	MG-5	MG-6
Mg	۷۲۳۰	۶۵۸۲	۵۳۹۲	۸۴۷	۷۷۲۰	۶۵۱۴	۷۱۹۶	۵۹۶۰	۶۱۲۳	۶۸۶۶	۷۲۳۹	۵۴۷۰	۶۵۴۰	۷۸۰۴
Al	۳۵۷۰	۴۳۴۵	۲۸۶۸	۲۷۴۹	۳۳۴۰	۴۰۶۸	۲۵۳۸	۲۲۱۸	۳۲۵۱	۲۶۴۲	۲۵۴۹	۳۴۰۵	۴۲۸۳	۳۹۶۰
Sc	۹۸۳	۷۵۶	۸۴۹	۴۶۰	۵۳۲	۴۸۹	۹۲۱	۷۵۰	۳۶۹	۸۵۷	۵۸۲	۴۹۵	۳۸۰	۱۰۲۸
Ti	۱۹۷۵۶	۱۹۲۰۷	۱۸۷۳۲	۱۸۸۴۶	۱۹۰۲۳	۱۸۳۲۴	۱۸۸۲۶	۱۸۶۱۹	۱۸۹۲۵	۱۹۳۳۴	۱۸۸۰۰	۱۹۹۶۰	۱۸۲۵۹	۱۹۲۱۶
V	۴۲۰۸	۴۱۵۳	۴۱۶۷	۴۰۷۵	۴۲۲۶	۴۳۰۲	۴۰۹۶	۳۹۸۴	۴۰۲۹	۴۱۰۸	۴۱۷۳	۳۹۲۰	۴۱۸۵	۴۰۷۰
Cr	۱۰۲۳۸	۱۰۰۵۴	۹۳۷۵	۹۶۶۰	۱۰۱۵۵	۹۵۲۹	۹۷۱۳	۹۹۰۷	۹۲۶۴	۱۰۴۳۹	۱۰۴۲۵	۱۰۳۷۷	۹۳۱۶	۹۲۵۰
Mn	۹۳۸	۸۵۶	۱۰۳۹	۹۰۲	۸۸۴	۹۳۷	۱۱۲۰	۸۱۸	۹۰۷	۷۴۶	۱۰۷۵	۸۴۴	۷۹۰	۱۱۴۸
Co	۵۲۳۱	۶۳۴۵	۶۲۰۰	۵۹۷۴	۶۱۰۴	۶۵۴۷	۴۹۸۰	۵۶۶۲	۵۷۹۳	۶۶۰۱	۶۴۷۵	۶۳۲۸	۵۱۵۳	۵۲۶۷
Ni	۱۰۲۶۴	۱۰۱۵۵	۱۰۳۳۷	۱۰۳۶۱	۱۰۱۹۰	۹۶۶۸	۹۹۲۶	۱۰۵۲۲	۱۰۴۷۰	۹۳۲۹	۱۰۲۵۴	۱۰۳	۹۶۶۶	۹۴۷۵
Zn	۷۷۳	۸۲۹	۶۵۸	۹۰۸	۷۵۱	۱۰۳۶	۸۶۰	۹۷۲	۸۵۵	۶۹۷	۱۰۸۱	۷۵۴	۸۰۹	۱۱۲۶
Ga	۰۹۷	۰۸۱	۱۰۴	۱۲۶	۰۹۴	۱۶۵	۱۳۸	۱۵۳	۱۲۹	۱۷۸	۱۶۸	۱۱۲	۰۹۹	۱۳۸
Sr	۰۶۵	۰۳۹	۰۲۷	۰۴۷	۰۷۱	۰۱۹	۰۵۵	۰۶۳	۰۷۵	۰۴۸	۰۲۳	۰۳۹	۰۵۵	۰۵۳
Y	۰۲۰۸	۰۱۷۳	۰۲۴۰	۰۲۶۵	۰۱۹۲	۰۲۳۶	۰۲۵۹	۰۲۰۴	۰۲۲۵	۰۲۰۳	۰۲۶۸	۰۱۹۷	۰۲۵۱	۰۲۴۳
Nb	۳۲۵	۲۴۲	۲۸۷	۴۳۸	۳۷۵	۲۹۴	۴۹۲	۲۹۶	۴۴۰	۲۹۱	۳۲۹	۵۳۵	۲۷۴	۴۱۵
Ba	۲۳۵	۱۸۷	۲۷۳	۳۹۴	۲۲۶	۲۵۲	۲۱۱	۲۵۸	۳۱۸	۳۲۹	۲۸۰	۲۶۷	۲۰۴	۱۹۶
La	۰۰۴۳	۰۰۵۲	۰۰۳۹	۰۰۴۷	۰۰۳۷	۰۰۴۰	۰۰۴۶	۰۰۴۸	۰۰۴۱	۰۰۴۸	۰۰۴۹	۰۰۴۶	۰۰۴۵	۰۰۴۲
Ce	۰۱۸۹	۰۲۲۷	۰۱۷۰	۰۲۰۸	۰۱۶۴	۰۱۷۶	۰۲۰۲	۰۲۱۲	۰۱۸۱	۰۲۰۹	۰۲۱۶	۰۲۰۳	۰۲۰۰	۰۱۸۴
Pr	۰۰۹۵	۰۱۱۴	۰۰۸۶	۰۱۰۵	۰۰۸۳	۰۰۸۸	۰۱۰۲	۰۱۰۶	۰۰۹۱	۰۱۰۵	۰۱۰۹	۰۱۰۲	۰۱۰۰	۰۰۹۳
Nd	۰۳۹۶	۰۴۷۵	۰۳۵۶	۰۴۳۶	۰۳۴۵	۰۳۶۸	۰۴۲۴	۰۴۴۳	۰۳۸۰	۰۴۳۸	۰۴۵۳	۰۴۲۶	۰۴۱۹	۰۳۸۶
Sm	۰۱۹۴	۰۲۳۳	۰۱۷۵	۰۲۱۳	۰۱۶۹	۰۱۸۰	۰۲۰۸	۰۲۱۷	۰۱۸۶	۰۲۱۵	۰۲۲۲	۰۲۰۹	۰۲۰۵	۰۱۸۹
Eu	۰۰۱۵	۰۰۱۸	۰۰۱۴	۰۰۱۷	۰۰۱۳	۰۰۱۴	۰۰۱۶	۰۰۱۷	۰۰۱۴	۰۰۱۷	۰۰۱۷	۰۰۱۶	۰۰۱۶	۰۰۱۵
Gd	۰۱۰۵	۰۱۲۶	۰۰۹۵	۰۱۱۶	۰۰۹۱	۰۰۹۸	۰۱۱۲	۰۱۱۸	۰۱۰۱	۰۱۱۶	۰۱۲۰	۰۱۱۳	۰۱۱۱	۰۱۰۲
Tb	۰۰۱۳	۰۰۱۶	۰۰۱۲	۰۰۱۴	۰۰۱۱	۰۰۱۲	۰۰۱۴	۰۰۱۵	۰۰۱۲	۰۰۱۴	۰۰۱۵	۰۰۱۴	۰۰۱۴	۰۰۱۳
Dy	۰۰۹۸	۰۱۱۸	۰۰۸۸	۰۱۰۸	۰۰۸۵	۰۰۹۱	۰۱۰۵	۰۱۱۰	۰۰۹۶	۰۱۰۹	۰۱۱۲	۰۱۰۵	۰۱۰۳	۰۰۹۵
Ho	۰۰۱۳	۰۰۱۶	۰۰۱۲	۰۰۱۴	۰۰۱۱	۰۰۱۲	۰۰۱۴	۰۰۱۵	۰۰۱۲	۰۰۱۴	۰۰۱۵	۰۰۱۴	۰۰۱۴	۰۰۱۳
Er	۰۱۹۸	۰۲۳۸	۰۱۷۸	۰۲۱۸	۰۱۷۲	۰۱۸۴	۰۲۱۲	۰۲۲۲	۰۱۹۰	۰۲۱۹	۰۲۲۶	۰۲۱۳	۰۲۰۹	۰۱۹۳
Tm	۰۰۴۵	۰۰۵۴	۰۰۴۱	۰۰۵۰	۰۰۳۹	۰۰۴۲	۰۰۴۸	۰۰۵۰	۰۰۴۳	۰۰۵۰	۰۰۵۱	۰۰۴۸	۰۰۴۸	۰۰۴۴
Yb	۰۰۶۳	۰۰۷۶	۰۰۵۷	۰۰۶۹	۰۰۵۵	۰۰۵۹	۰۰۶۷	۰۰۷۱	۰۰۶۰	۰۰۷۰	۰۰۷۲	۰۰۶۸	۰۰۶۷	۰۰۶۱
Lu	۰۰۱۲	۰۰۱۴	۰۰۱۱	۰۰۱۳	۰۰۱۰	۰۰۱۱	۰۰۱۳	۰۰۱۴	۰۰۱۲	۰۰۱۳	۰۰۱۴	۰۰۱۳	۰۰۱۲	۰۰۱۲
ΣREE	۱۴۷۹	۱۷۷۵	۱۳۳۱	۱۶۲۷	۱۲۸۷	۱۳۷۵	۱۵۸۳	۱۶۵۶	۱۴۲۰	۱۶۳۷	۱۶۹۲	۱۵۹۰	۱۵۶۲	۱۴۴۱

ادامه جدول ۱

	MG-7	MG-8	MG-9	MG-10	MG-11	HG-1	HG-2	HG-3	HG-4	HG-5	HG-6	HG-7	HG-8
Mg	۵۵,۷۹	۹۳,۷۵	۱۱۲,۵۹	۹۴,۶۸	۹۷,۵۳	۵۵۷,۲۵	۶۳۴,۳۷	۴۹۶,۶۴	۷۲۵,۳۹	۵۰,۸,۹۲	۶۳۹,۱۰	۷۰,۴,۸۱	۶۸۳,۵۸
Al	۳۵,۱۲	۲۳,۹۷	۴۱,۰۶	۳۱,۰۶	۳۸,۸۰	۱۲۴,۷۵	۱۷۳,۲۸	۱۵۲,۹۶	۱۶۵,۷۰	۱۷۹,۲۳	۱۶۰,۶۴	۱۴۸,۰۷	۱۳۹,۲۹
Sc	۱۱,۳۱	۸,۳۰	۶,۳۵	۶,۷۹	۸,۱۰	۲,۶۹	۷,۲۵	۵,۴۳	۱,۰,۲۲	۳,۹۶	۹,۹۵	۸,۷۰	۹,۴۳
Ti	۱۸۶,۴۶	۱۹۱,۵۰	۱۸۳,۴۳	۱۹,۰۲۸	۱۸۴,۹۰	۱۵۶,۰	۱۴۹,۳۵	۱۵۳,۷۲	۱۴۵,۳۴	۱۵۱,۲۰	۱۴۷,۰۳	۱۵۴,۳۰	۱۴۹,۶۵
V	۴۰,۸۲	۴۲,۳۵	۳۹,۵۸	۴۱,۸۶	۴۰,۰۷	۲۸,۴۰	۲۷,۲۵	۲۸,۶۱	۲۴,۱۶	۲۵,۳۲	۲۳,۰۹	۲۳,۶۴	۲۲,۹۷
Cr	۹۶,۴۸	۹۵,۹۰	۱۰,۲,۷۳	۱۰,۱,۲۲	۹۴,۸۱	۴۰,۲۰	۴۳,۷۵	۴۸,۳۳	۴۵,۰,۴	۴۶,۲۹	۴۹,۷۰	۴۷,۲۶	۴۵,۹۱
Mn	۹۹۵	۱۰۰,۸	۹۶۰	۸۵۱	۱۰,۷۸	۴۵۴	۳۷۳	۵۳۸	۴۲۲	۳۹۵	۵۷۴	۴۹۷	۵۰,۴
Co	۶۲,۵۴	۵۷,۹۶	۵۰,۴۹	۶۱,۰۰	۶۵,۳۵	۳۲,۰,۴	۲۲,۳۸	۳۱,۶۴	۲۵,۷۷	۲۶,۳۴	۳۱,۲۷	۲۸,۹۸	۲۵,۲۵
Ni	۱۰,۵,۵۳	۱۰,۳,۰,۵	۹۳,۸۶	۱۰,۱,۲۲	۹۸,۶۴	۹۷,۵۲	۱۰,۲,۵۱	۱۰,۳,۳۷	۱۰,۵,۴۸	۹۹,۵۰	۱۰,۰,۳۹	۱۰,۲,۲۶	۱۰,۴,۵۵
Zn	۸۷۸	۱۰,۴۴	۷۹۰	۸,۰,۵	۱۰,۵۹	۳۶۳	۳۰۰	۴۱۴	۳۴۴	۳۸۹	۳۴۲	۲۷۹	۴۳۲
Ga	۱,۲۴	۱,۱۶	۰,۸۹	۱,۹۳	۱,۴۱	۴,۱۳	۵,۷۰	۵,۳۸	۳,۵۷	۳,۱۷	۴,۴۲	۲,۹۷	۳,۷۱
Sr	۰,۲۹	۰,۳۷	۰,۷۷	۰,۶۲	۰,۶۸	۰,۵۳	۰,۲۲	۰,۸۲	۰,۳۴	۰,۴۹	۰,۶۵	۰,۴۴	۰,۷۶
Y	۰,۲۱۵	۰,۲۲۴	۰,۲۳۰	۰,۱۸۴	۰,۲۲۶	۱,۴۴	۱,۷۷۳	۱,۹۴۳	۱,۵۳	۱,۶۹	۱,۵۲۳	۲,۰,۱۱	۱,۴۷۸
Nb	۲,۸۱	۳,۷۰	۵,۱۸	۲,۸۹	۳,۴۳	۲۸,۶۲	۴۶,۵۵	۲۲,۸۴	۳۶,۱۱	۲۴,۴۵	۳۲,۱۹	۴۵,۰,۷	۲۵,۱۴
Ba	۲,۴۹	۲,۹۱	۳,۴۵	۲,۰,۹	۲,۱۶	۳,۱۷	۳,۵۴	۲,۸۳	۲,۸۵	۲,۶۳	۲,۷۶	۳,۰,۲	۲,۶۴
La	۰,۰,۴۶	۰,۰,۴۲	۰,۰,۳۸	۰,۰,۴۴	۰,۰,۳۸	۴,۴۶۳	۴,۰,۸	۴,۶۷۵	۴,۲۵۰	۳,۸۲۵	۴,۱۶۵	۳,۹۵۳	۴,۵۴۸
Ce	۰,۰,۴	۰,۱۸۴	۰,۱۷۰	۰,۱۹۴	۰,۱۶۹	۱۳,۹۶۵	۱۲,۷۶۸	۱۴,۶۳	۱۳,۳۰	۱۱,۹۷۰	۱۳,۰,۳۴	۱۲,۳۶۹	۱۴,۲۳۱
Pr	۰,۱۰۳	۰,۰,۹۲	۰,۰,۸۵	۰,۰,۹۸	۰,۰,۸۵	۲,۳۲۱	۲,۱۲۲	۲,۴۳۱	۲,۲۱۰	۱,۹۸۹	۲,۱۶۶	۲,۰,۵۵	۲,۳۶۵
Nd	۰,۴۲۸	۰,۳۸۵	۰,۳۵۴	۰,۴,۰۷	۰,۳۵۴	۱۲,۱۸۰	۱۱,۱۳۶	۱۲,۷۶۰	۱۱,۶۰	۱۰,۴۴۰	۱۱,۳۶۸	۱۰,۷۸۸	۱۲,۴۱۲
Sm	۰,۲۱۰	۰,۱۸۹	۰,۱۷۴	۰,۲۰۰	۰,۱۷۴	۴,۲۴۷	۳,۹۷۴	۴,۵۰۴	۴,۱۴۰	۳,۷۲۶	۴,۰,۵۷	۳,۸۵۰	۴,۴۲۰
Eu	۰,۰,۱۶	۰,۰,۱۵	۰,۰,۱۳	۰,۰,۱۵	۰,۰,۱۳	۰,۰,۰,۹	۰,۰,۰,۵۴	۰,۰,۰,۶۲	۰,۰,۰,۵۶	۰,۰,۰,۵۰	۰,۰,۰,۵۵	۰,۰,۰,۵۲	۰,۰,۰,۶۰
Gd	۰,۱۱۳	۰,۱۰۲	۰,۰,۹۴	۰,۱۰۸	۰,۰,۹۳	۴,۰,۶۴	۳,۷۱۵	۴,۲۵۷	۳,۸۷	۳,۴۸۳	۳,۷۹۳	۳,۵۹۹	۴,۱۴۱
Tb	۰,۰,۱۴	۰,۰,۱۳	۰,۰,۱۲	۰,۰,۱۴	۰,۰,۱۲	۰,۷۹۳	۰,۷۲۵	۰,۸۳۱	۰,۷۵۵	۰,۶۸۰	۰,۷۴۰	۰,۷۰۲	۰,۸۰,۸
Dy	۰,۱۰۶	۰,۰,۹۵	۰,۰,۸۸	۰,۱۰۱	۰,۰,۸۷	۵,۱۶۶	۴,۷۲۳	۵,۴۱۲	۴,۹۲۰	۴,۴۲۸	۴,۸۲۲	۴,۵۷۶	۵,۲۶۴
Ho	۰,۰,۱۴	۰,۰,۱۳	۰,۰,۱۲	۰,۰,۱۳	۰,۰,۱۲	۰,۸۲۴	۰,۷۶۲	۰,۸۷۳	۰,۷۹۴	۰,۷۱۵	۰,۷۷۸	۰,۷۳۸	۰,۸۵۰
Er	۰,۲۱۴	۰,۱۹۲	۰,۱۷۷	۰,۲۰۴	۰,۱۷۷	۱,۹۹۵	۱,۸۲۴	۲,۰,۹	۱,۹,۰,۱	۱,۷۱۰	۱,۸۶۲	۱,۷۶۷	۲,۰,۳۳
Tm	۰,۰,۴۹	۰,۰,۴۴	۰,۰,۴۰	۰,۰,۴۶	۰,۰,۴۰	۰,۲۱۲	۰,۱۹۴	۰,۲۲۲	۰,۲۰۲	۰,۱۸۲	۰,۱۹۸	۰,۱۸۸	۰,۲۱۶
Yb	۰,۰,۶۸	۰,۰,۶۱	۰,۰,۵۶	۰,۰,۶۵	۰,۰,۵۶	۱,۱۱۳	۱,۰,۱۸	۱,۱۶۶	۱,۰,۶۵	۰,۹۵۴	۱,۰,۳۹	۰,۹۸۶	۱,۱۳۴
Lu	۰,۰,۱۳	۰,۰,۱۲	۰,۰,۱۱	۰,۰,۱۲	۰,۰,۱۱	۰,۱۱۱	۰,۱۰۲	۰,۱۱۷	۰,۱۰۶	۰,۰,۹۵	۰,۱۰۴	۰,۰,۹۹	۰,۱۱۳
ΣREE	۱,۵۹۷	۱,۴۳۸	۱,۳۲۲	۱,۵۲۱	۱,۳۲۲	۵۱,۶۲۱	۴۷,۱۹۶	۵۴,۰,۷۹	۴۹,۱۶۳	۴۴,۲۴۷	۴۸,۱۸۰	۴۵,۷۲۲	۵۲,۶۰,۴

و مجموع عناصر خاکی نادر (REE) در این سنگ‌ها به ترتیب در گستره ۵۴-۱۱۳ ppm، ۰,۸۱-۱,۹۳ ppm، ۰,۲۲-۰,۲۲ ppm، ۱۳۲-۱۶۹ ppm، ۰,۱۷-۰,۱۷ ppm، ۲,۴۲-۴,۹۲ ppm، ۰,۱۲-۰,۱۲ ppm، ۳,۸۰-۱۱,۳۱ ppm، ۰,۹۳-۱,۰۶ ppm، Sc (۰,۱۲-۰,۱۲ ppm)، Ni (۰,۱۱-۰,۱۱ ppm)، Sr (۰,۱۱-۰,۱۱ ppm)، Ba (۰,۲۳-۰,۲۳ ppm) و Ba (۰,۹۶-۰,۹۶ ppm).

ترکیب مگنتیت در نمونه‌های هورنبلند گابروی حاوی (MG) و کانسنسگ (MHG) بلورهای مگنتیت در MG دارای ترکیب مشابهی هستند و تمرکز بیشتر عناصر کمیاب در آنها مشابه است (جدول ۱). این کانی‌ها دارای قابل ملاحظه‌ای از عناصر مختلف هستند. تمرکز فلزات به ویژه تیتانیم (۱۸۲۰۰-۱۹۹۶۰ ppm)، وانادیم (۴۳۰۰ ppm)، کروم (۹۲-۱۰۶ ppm)، منگنز (۷۹۰-۱۱۵۰ ppm) و روی (۵۰-۶۶ ppm) و بیالات (۶۶۰-۱۱۳۰ ppm) در مگنتیت‌های این دو نمونه بالاست. میزان Y، Ga، Al، Mg نشان می‌دهد (جدول ۱). میزان عناصر

ترکیب مگنتیت در نمونه‌های هورنبلند گابروی حاوی کانسنسگ (MHG) و کانسنسگ (MG) بلورهای مگنتیت در MG دارای ترکیب مشابهی هستند و تمرکز بیشتر عناصر کمیاب در آنها مشابه است (جدول ۱). این کانی‌ها دارای قابل ملاحظه‌ای از عناصر مختلف هستند. تمرکز فلزات به ویژه تیتانیم (۱۸۲۰۰-۱۹۹۶۰ ppm)، وانادیم (۴۳۰۰ ppm)، کروم (۹۲-۱۰۶ ppm)، منگنز (۷۹۰-۱۱۵۰ ppm) و روی (۵۰-۶۶ ppm) و بیالات (۶۶۰-۱۱۳۰ ppm) در مگنتیت‌های این دو نمونه بالاست. میزان Y، Ga، Al، Mg نشان می‌دهد (جدول ۱).

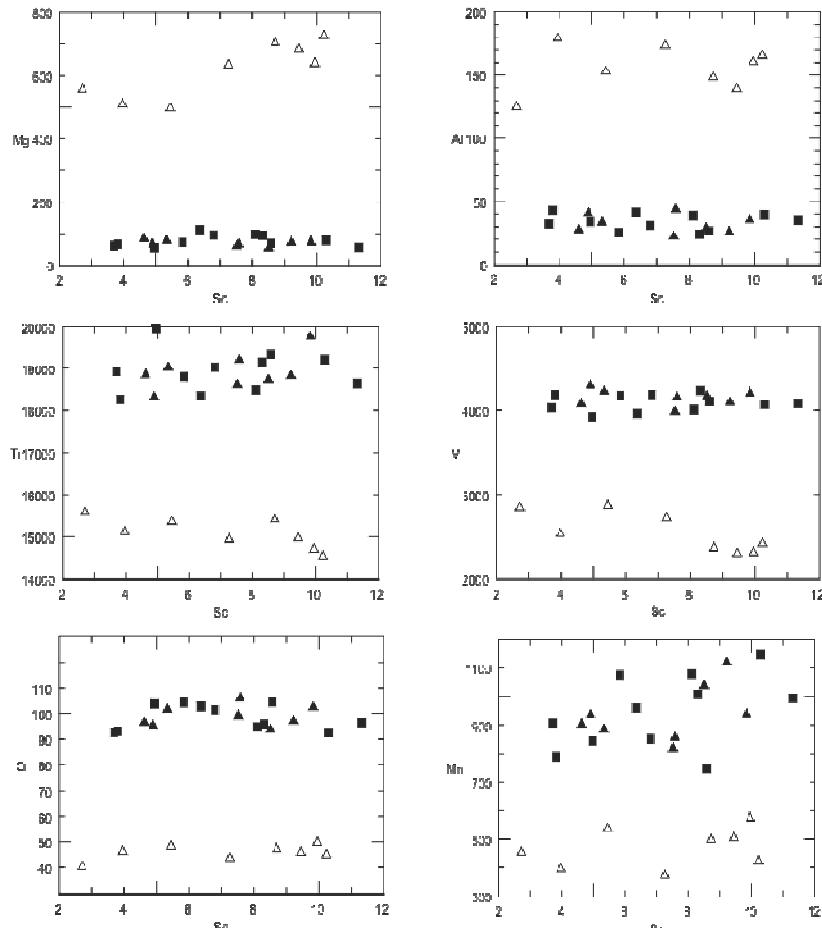
ترکیب متفاوت هستند [۶، ۱۸]. به عنوان مثال بسیاری از محققان معتقدند که مگنتیت ماقمایی غنی از Ti و V است [۶، ۸، ۱۹]. بنابراین، از ترکیب برخی عناصر خاص و نسبت آنها می‌توان برای تعیین جایگاه زمین‌شناسی و نوع مگنتیت استفاده نمود [۶، ۲۰]. با ترسیم ترکیب مگنتیت‌های توده نفوذی نامن بر نمودارهای متمایز کننده‌ی $Ti+V$ نسبت به $Ni/(Cr+Mn)$ و $Al+Mn$ مشخص می‌شود که همه مگنتیت- $Fe-Ti,V$ ها خاستگاه ماقمایی دارند و در رده مگنتیت‌های V قرار می‌گیرند (شکل ۳).

چنانکه در بخش قبل گفته شد ترکیب عناصر کمیاب در بلورهای مگنتیت HG تفاوت قابل ملاحظه‌ای با نمونه‌های MG و MHG دارد. در شکل‌های ۳ و ۴ از نمودارهای دوتایی Sc و MG نسبت به سایر عناصر برای نشان دادن تمایز بین این دو گروه استفاده شده است. انتخاب Sc بدین علت است که گستره‌ی تغییرات این عنصر در هر دو دسته یکسان است.

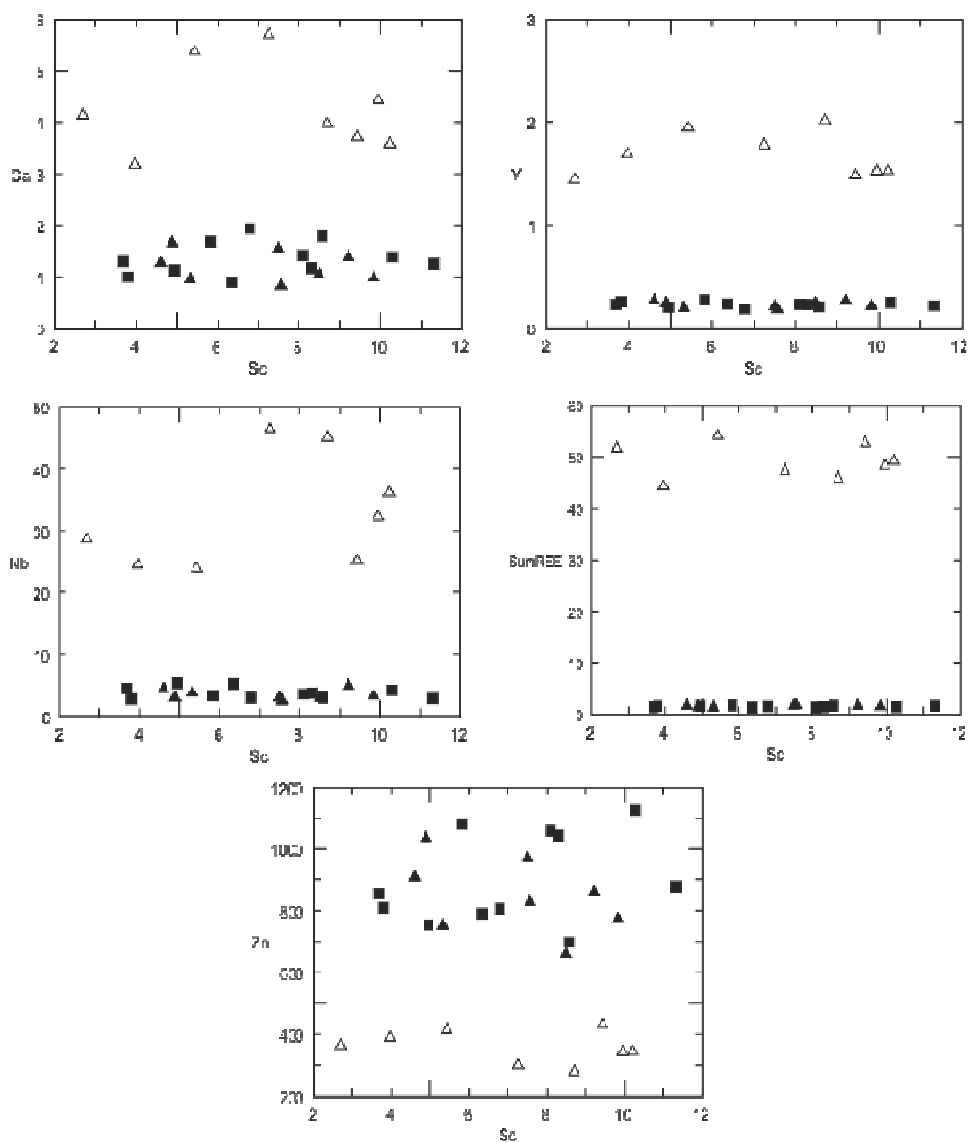
Cr (۲۳۰۰-۲۸۶۰ ppm), V (۱۴۵۰۰-۱۵۶۰۰ ppm) Ti (۲۵-۳۳ ppm), Co (۳۷۰-۵۰۰ ppm), Mn (۴۰-۴۸ ppm) و Zn (۳۰۰-۴۰۰ ppm) در نمونه HG کمتر از دو نمونه دیگر است. از سوی دیگر بسیاری از عناصر بیوپله عناصر با شدت یونی بالا (HFSE) و REE در این نمونه تمرکزی چندین برابر نمونه‌های MG و MHG دارند: Mg (۵۰۰-۷۳۰ ppm), Al (۲۰۱ ppm), Y (۳۵۸-۵۷۰ ppm), Ga (۱۲۰-۱۸۰ ppm), Nb (۱۴۴-۵۴ ppm) و عناصر خاکی نادر (Ba, Sr, Ni, Sc, Σ REE=۴۵ ppm) در نمونه HG نیز به ترتیب در گستره ۲۶۹-۱۰۲۲، ۹۷-۱۰۶، ۰۸۲-۰۲۲ و ۲۶۳-۳۱۷ تغییر می‌کند که در گستره ترکیبی نمونه MG و MHG قرار می‌گیرد.

بحث

تحقیقات مختلف بر روی شیمی عناصر کمیاب مگنتیت در محیط‌های مختلف نشان می‌دهد که انواع کانسنج‌ها دارای



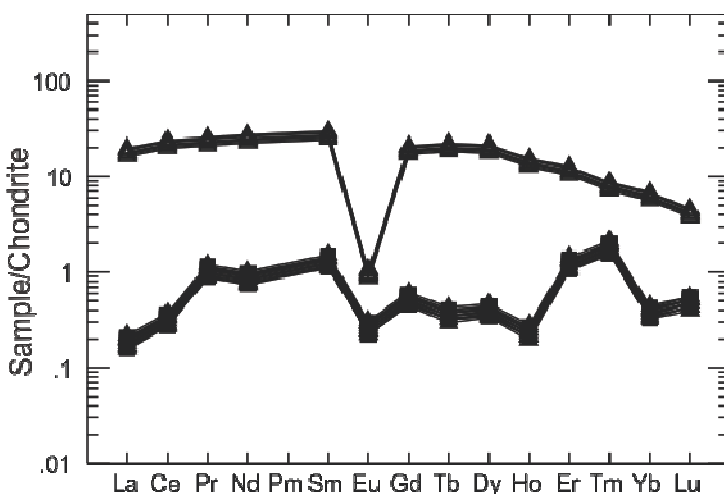
شکل ۳ نمودار دوتایی نشان دهنده تغییرات ترکیب عناصر کمیاب نسبت به Sc. تمرکز همه عناصر برحسب ppm است. HG = Δ , MG = ■, MHG = ▲



شکل ۴ تغییرات سایر عناصر کمیاب نسبت به Sc. تمرکز همه عناصر برحسب ppm است. علائم همانند شکل ۳ هستند.

شکل (چاروجهی) با تهی شدگی $(\text{La/Yb})_{\text{N}} = 0.46$ LREE هستند (شکل ۵). ناهنجاری منفی Eu در مگنتیت‌های این گروه ($\text{Eu/Eu}^* = 0.32$) به نسبت HG کمتر است. تهی شدگی Eu مربوط به تبلور همزمان پلازیوکلاز از ماقما است. در سنگ‌های گابریوی توده نامن، پلازیوکلاز به عنوان کانی اصلی در تمام نمونه‌ها وجود دارد و بنابراین ناهنجاری منفی در الگوی REE برای مگنتیت‌های ماگمایی بدیهی به نظر می‌رسد. تفاوت شدت این ناهنجاری در مگنتیت‌های این دو گروه را می‌توان به تفاوت میزان سایر عناصر REE نسبت داد. از آنجا که فراوانی این عناصر در نمونه HG به مرتب بیشتر است، جدایش Eu در طی تبلور پلازیوکلاز موجب ایجاد ناهنجاری شدیدتر در الگوی REE شده است.

مگنتیت‌های MG از نظر عناصر Ti, V, Cr, Mn و Zn نسبت به MG و MHG تهی شده‌تر هستند؛ در حالیکه عناصر REE و HFSE در این مگنتیت‌ها نسبت به نمونه‌های حاوی کانسنگ و مگنتیت‌های خود کانسنگ به شدت افزایش یافته است (شکل‌های ۳ و ۴). علاوه بر تفاوت در میزان عناصر خاکی نادر بین این دو گروه (ΣREE در مگنتیت‌های HG به بیش از ۳۰ برابر مگنتیت‌های MG و MHG و MG می‌رسد)، الگوی نمودار عنکبوتی نیز در آنها متفاوت است. مگنتیت‌های HG یک غنی شدگی نسبی عناصر خاکی نادر سبک (LREE) به سنگین (HREE) با شبیه ملایم $(\text{La/Yb})_{\text{N}} = 2.67$ با تهی شدگی شدید یوروپیوم ($\text{Eu/Eu}^* = 0.04$) را نشان می‌دهند؛ ولی مگنتیت‌های MHB و MG دارای الگوی REE تقریباً



شکل ۵ الگوی REE بهنجار شده نسبت به کندریت [۲۱] برای نمونه های موردبررسی. علانم همانند شکل ۳ هستند.

دهد. همانند سنگ کل، مگنتیت ها نیز در نمونه های HG به نسبت MHG غنی تر از عناصر REE و HFSE و تهی شده از بسیاری از فلزات هستند. علاوه بر این، ترکیب مگنتیت موجود در کانسنگ (MG) مشابه با MHG است. این امر نشان می دهد که طی جدایش گدازه اکسیدی غیرقابل امتزاج از مagmaی گابرویی MHG، تغییری در ترکیب عناصر کمیاب مگنتیت ها بوجود نیامده است.

برداشت

نتایج حاصل از تجزیه مگنتیت ها به روش LA-ICP-MS در توده نفوذی نامن نشان می دهد که همه آنها در رده مگنتی های magmaی قرار می گیرند. این داده ها حاکی از آن است که تفاوت بارزی بین ترکیب عناصر کمیاب این کانی در نمونه های HG با MG وجود دارد. مگنتیت های گروه نخست MHG با HG وجود دارد. مگنتیت های گروه نخست HG غنی از Ti, V, Cr, Mn و Zn و بلورهای مگنتیت های HG غنی از Mg, Al, Ga, Y, Nb و REE هستند. نمودارهای عنکبوتی این دو گروه نیز الگوهای متفاوتی را برای آنها ترسیم می سازد. همانگی داده های عناصر کمیاب مگنتیت در گابروهای توده نامن با شیمی سنگ کل می تواند بیانگر تأیید نقش جدایش فاز فرار در تحول فاز magmaی باشد.

قدرتانی

بخشی از هزینه های این تحقیق در قالب طرح پژوهانه مصوب دانشگاه پیام نور تأمین شده است که بدین وسیله از مسئولین دانشگاه پیام نور تشکر می گردد. دو داور محترم نظریات

برای درک بهتر علت تفاوت ترکیب مگنتیت در نمونه های توده نفوذی نامن بهتر است از داده های زمین شیمیایی سنگ های گابرویی (داده های سنگ کل) کمک گرفت. چنان که گفته شد، ویژگی های شیمیایی توده نامن توسط مظہری و همکاران [۹] ارائه شده است. داده های زمین شیمیایی نشان می دهد که سنگ های MHG و HG از نظر ترکیب کلی نیز با هم تفاوت های آشکاری دارند. نمونه های MHG دارای آهن، تیتانیوم، منگنز و کلسیم بیشتر و آلومینیوم، منیزیوم، سدیم، پتاسیم و فسفر کمتری نسبت به گابروهای HG هستند [۹]. از نظر عناصر کمیاب نیز سنگ های MHG و HG ترکیب متفاوتی دارند: در حالیکه نمونه های MHG از نظر گوگرد و عناصر فلزی V, Cu, Co, Cr و Zn نسبت به HG غنی شدگی Ba, Sr, Rb) HFSE و LILE نشان می دهند، در سایر عناصر (REE و Th, Pb, Sn, Mo, Ta, Nb, Y, Sc شدید دیده می شود؛ میزان F در HG نیز بسیار بالاتر از MHG است [۹]. مجموع داده های زمین شیمیایی حاکی از آن است که جدایش فاز فرار (یک بخش غنی از F و P (که تشکیل HG را داده است) و بخش دیگر غنی از آب و گوگرد (که MHG را شکل داده است) در طی دگرگونی magmaی گابرویی موجب تمایز ترکیب شیمیایی، به ویژه عناصر کمیاب، در این دو گروه شده و جدایش گدازه اکسیدی غیرقابل امتزاج از magmaی گابرویی موجب ایجاد کانسنگ های مگنتیت در توده نامن شده است [۹]. بررسی ترکیب عناصر کمیاب مگنتیت در سنگ های مورد بررسی همخوانی خوبی با داده های سنگ کل نشان می

Emeishan Large Igneous Province, SW China", Ore Geology Review 65 (2015) 853-871.

[۹] مظہری س.ع، مجتبی فر و، جعفریان ع، "ژئوشیمی، سنگ زایی و کانی زایی سنگهای نفوذی نامن، جنوب غربی پهنه سبزوار، مجله بلورشناسی و کانی شناسی ایران، شماره ۵۱۷-۵۳۲ (۱۳۹۴) ص ۲۲-۵۱۷.

[۱۰] نبوی، م.ح، "دیاچهای بر زمین شناسی ایران"، انتشارات سازمان زمین شناسی (۱۳۵۵).

[۱۱] Khalatbari Jafari M., Babaie H.A., Gani M., "Geochemical evidence for Late Cretaceous marginal arc-to-backarc transition in the Sabzevar ophiolitic extrusive sequence, northeast Iran", Journal of Asian Earth Sciences, 70-71 (2013) 209-230.

[۱۲] Shafaii Moghadam H., Zaki Khedr M., Arai S., Stern R.S., Ghorbani G., Tamura A., Ottley C., "Arc-related harzburgite-dunite-chromitite complexes in the mantle section of the Sabzevar ophiolite, Iran: A model for formation of podiform chromitites", Gondwana Research 27 (2015) 575-593.

[۱۳] Rossetti F., Nasrabadi M., Vignaroli G., Theye T., Gerdes V., Razavi M. H., Moin Vaziri H., "Early Cretaceous migmatitic mafic granulites from the Sabzevar range (NE Iran): implications for the closure of the Mesozoic peri-Tethyan oceans in central Iran", Terra Nova 22 (2010) 26-34.

[۱۴] Khalatbari Jafari M., Babaie H.A., Mirzaie M., "Geology, petrology and tectonomagmatic evolution of the plutonic crustal rocks of the Sabzevar ophiolite, northeast Iran", Geological Magazine, 150 (2013) 862-884.

[۱۵] Alammia Z., Karimpour M.H., Homam S.M., Finger F., "The magmatic record in the Arghash region (northeast Iran) and tectonic implications", International Journal of Earth Science, 102 (2013) 1603-1625.

[۱۶] قورچی روکی م، کریمپور م.ح، ابراهیمی نصرآبادی خ، "تعیین سن، منشأ و جایگاه تکتونیکی توده‌های نفوذی جنوب سبزوار، پترولوزی، شماره ۱۶ (۱۳۹۲) ص ۱۰-۱۱.

[۱۷] Mazhari S.A., "Petrogenesis of adakite and high-Nb basalt association in the SW of Sabzevar Zone, NE of Iran: Evidence for slab melt-mantle interaction", Journal of African Earth Sciences, 116 (2016) 170-181.

ارزشمندی برای بهبود متن مقاله ارائه دادند که کمال تشکر را نسبت به آنها اعلام می‌دارم.

مراجع

[۱] Giacomini F., Tiepolo M., Dallai, L., Ghezzo, C., "On the onset and evolution of the Rossorogeny magmatism in North Victoria Land-Antarctica", Chemical Geology 240 (2007) 103-128.

[۲] Molina J.F., Scarrow J.H., Montero P.G., Bea F., "High-Ti amphibole as a petrogenetic indicator of magma chemistry: evidence for mildly alkalic-hybrid melts during evolution of Variscan basic-ultrabasic magmatism of Central Iberia", Contribution to Mineralogy and Petrology 158 (2009) 69-98.

[۳] مظہری، س.ع، قلمقاش، ج، مظلومی بجستانی، ع.ر، حاج علیلو، ب، "کاربرد ترکیب عناصر جزئی کوارتز در تفسیر پتروژئیکی گرانیت‌های نقده، شمال غرب زون سندج-سیرجان"، مجله بلورشناسی و کانی شناسی ایران (۱۳۹۱) سال بیستم، شماره ۳، صفحات ۵۱۴-۵۰۵.

[۴] Jacamon F., Larsen R.B., "Trace element evolution of quartz in the charnockitic Kleivan granite, SW-Norway: The Ge/Ti ratio of quartz as an index of igneous differentiation", Lithos 107 (2009) 281-291.

[۵] مظہری، س.ع، "تفصیل ترکیب شیمی آپاتیت در انواع گرانیت و کاربرد آن در سنگ شناسی: بررسی موردنی از توده‌های نقده، زوزن، بانه و شیرکوه، مجله بلورشناسی و کانی شناسی ایران (۱۳۹۳) سال بیست و دوم، شماره ۲، صفحات ۲۵۶-۲۴۳.

[۶] Nadoll P., Angerer T., Mauk J.L., French D., Walshe J., "The chemistry of hydrothermal magnetite: a review", Ore Geology Review 61 (2014) 1-32.

[۷] Zhao W.W., Zhou M.F., "In-situ LA-ICP-MS trace elemental analyses of magnetite: the Mesozoic Tengtie skarn Fe deposit in the Nanling Range, South China", Ore Geology Review 65(2015) 872-883.

[۸] Liu P.P., Zhou M.F., Chen W.T., Gao J.F., Huang X.W., "In-situ LA-ICP-MS trace elemental analyses of magnetite: Fe-Ti-(V) oxide-bearing mafic-ultramafic layered intrusions of the

- [20] Dupuis C., Beaudoin G., "Discriminant diagrams for iron oxide trace element fingerprinting of mineral deposit types", *Mineral Deposita* 46 (2011) 319-335.
- [21] Nakamura N., "Determination of REE, Ba, Fe, Mg, Na and K in carbonaceous and ordinary chondrites", *Geochimica et Cosmochimica Acta* (1974) 38 757-775.
- [18] Nadoll P., Mauk J.L., Hayes T.S., Koeni A.E., Box S.E., "Geochemistry of magnetite from hydrothermal ore deposits and host rocks of the Mesoproterozoic Belt Supergroup, United States" *Economic Geology*, 107 (2012), 1275-1292.
- [19] Dare S.A.S., Barnes S.-J., Beaudoin G. "Variation in trace element content of magnetite crystallized from a fractionating sulfide liquid, Sudbury, Canada: implications for provenance discrimination", *Geochimica et Cosmochimica Acta*, 88 (2012) 27-50.